

大阪市立大学 東田淳・八谷誠

まえがき

従来行われてている  $K_0$  圧密三軸試験は圧密時の排水方向が半径方向であるため、実際の粘土地盤における一次元圧密状態を正しく反映していない。筆者らはこの点に疑問を感じ、開閉式圧密リングを用いた一次元圧密三軸試験を開発<sup>1)</sup>、 $K_0$  圧密三軸試験との比較を行っている。さて長期圧密された粘土では C/U 比度は増加し、ダイレタンシー特性も変化することが知られているが、この理由と 1) で二次圧密中に  $K_0$  値が増加するという実験結果にもとづいた解説が示されている<sup>2), 3)</sup>。この場合の  $K_0$  値の測定はいずれも  $K_0$  圧密三軸試験によるものであるので一次元圧密とは異なった状態の  $K_0$  値を測定している可能性がある。さらに、 $K_0$  値が二次圧密中に增大するならば一次元圧密粘土の強度累積性は圧密時間とともに減少すると考えられるが、実際には長期圧密された実地盤でも強度累積性が存在していることを筆者の研究室では確かめている<sup>4)</sup>。そこで、二次圧密中に繰り返して  $K_0$  値を測定できる一次元圧密三軸装置を試作し、二次圧密中の  $K_0$  値の変化を調べた。

実験装置

図-1 は今回試作した一次元圧密三軸装置である。装置は圧密中の供試体の側方変位を拘束する剛板①、これを開閉するための 2 個の油圧シリンダー②、剛板を均等に開閉するためのシステム③、剛板の動きをガイドする板④、装置全体を吊す装置⑤、上下載荷板⑥から構成される。軸圧載荷は載荷レバーによつて行う。

本装置の操作方法と特徴は次の通りである。

(1) 圧密過程では剛板①は油圧シリンダー②の働きによって一体化され、供試体は一次元圧密される。圧密中は  $K_0$  圧密三軸試験で行いながら、軸圧あるいは側圧の制御は一切必要なく、簡単に一次元圧密を行うことができる。

(2)  $K_0$  値の測定時には、後述する操作によつて、 $\Delta \nabla = \Delta \varepsilon_L = 0$  の条件で剛板を開き、 $\sigma_1, \sigma_3, u$  の各測定値より  $K_0 = \sigma'_1/\sigma'_3$  を求め、同条件のもとで剛板を開いた後、二次圧密を繰り返せる。このようにして、二次圧密過程において繰り返し  $K_0$  値を測定することができる。

(3) 供試体と剛板の摩擦減衰をといて、装置全体を吊り装置⑤の働きによつて常に供試体の軸変位量の妨げで強制的に移動させながらともに、実験中は想定される  $K_0$  の値よりも低い一定の側圧をかけておく。

（注）このアイデアは望月・山根によるものである。  
「新しい三主応力制御型三軸試験機について」第38回土木学会年講

実験方法

(1) 試料 大阪南港で採取した埋立粘土の 0.2 mm ふろいを通過したもの ( $w_L = 90$ 、これを以下 N90 と呼ぶ) と、N90 に市販のカオリンを乾燥重量比 1 : 1 の割合で混合したもの ( $w_L = 60$ 、これを N-K60 と呼ぶ) の 2 種類の粘土を、相対含水比  $W_R = 1.8$  の含水化スラリーにし、1.8 MPa の圧密圧力を再圧密して用いた。表-1 に試料の物理性質を示す。

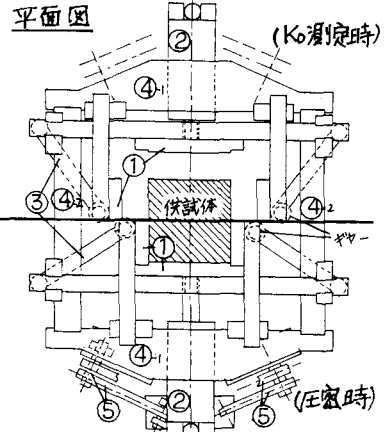
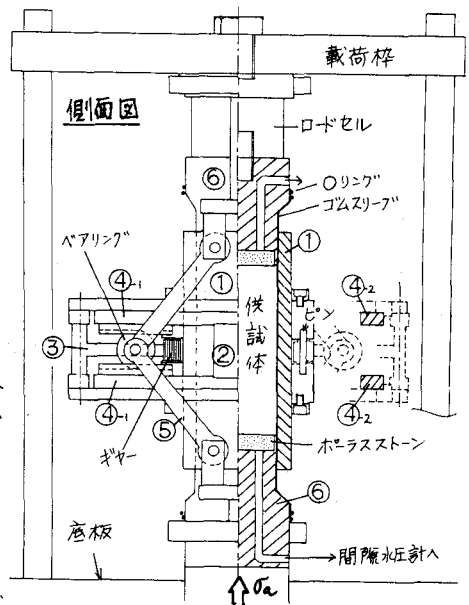


図-1 一次元圧密三軸装置

(2)ゴムスリーブの透過対策 長期圧密の場合にはゴムスリーブの透過性を改善する必要があることが分ったので、天然ゴムにサランを充填して20%混入した厚さ0.25mmのゴムスリーブを開発し使用するとともに装置全体を内セルに入れシリコーンオイルを満たして実験を行った。

(3)実験方法  $5 \times 5 \times 9\text{ cm}$  の直方体供試体を上下載荷板にセットした後、剛板を閉じ、側圧、軸圧とBPを1kg/cm<sup>2</sup>かけ60分間放置する。所定の圧密圧力 $\sigma_3$  (2, 4 kg/cm<sup>2</sup>)まで等方的に軸圧 $\sigma_3$ 、側圧 $\sigma_1$ をかけB値を測定した後、排水バルブを開いて圧密を開始し、同時に $\sigma_3$ を0.45 kg/cm<sup>2</sup>まで下げる。 $K_0$ 値測定時の操作はまず排水コックを開じ、剛板を開きながら軸変位が生じないように載荷レバーを上下して軸圧を調節し(図-2 ②→③)、 $\sigma_1$ ,  $\sigma_3$ ,  $U$ より $K_0 = \frac{\sigma_3}{\sigma_1 - U}$ を求める。次に同様の操作で剛板を閉じた後、 $\sigma_3$ を $\sigma_1$ に一歎させ、排水コックを開いて圧密を続行せらる(図-2 ④→⑤)。以後所定の圧密時間がくればこの操作を繰り返し、 $K_0$ 値を経時的に測定した。ただし、2回目以後の②段階における $K_0$ の値は1回目の $K_0$ 値測定時に得られた $K_0$ と一致させた。

以上の実験方法で問題となるのは③段階で $\sigma_3$ を $\sigma_1$ にしたことで、その後、 $\sigma_3$ は単純に圧密圧力 $\sigma_3$ にすればよいことが分った。<sup>3)</sup>しかし、圧密圧力の変動幅は5%以内に納まつており、かつ後述する図-4の結果から判断してこの影響は小さいと考えられる。<sup>[注]これは研究過程で剛板と供試体間に漏れ摩耗成分の変化に対する影響が変わったためである。</sup>

### 実験結果

図-3は二次圧密過程における $K_0$ 値の変化で、N-K60, N90ともほぼ $K_0$ 値は一定とみなしてよい。図-4に時間沈下カーブを示したが、 $K_0$ 値測定時の操作による影響は特にみられず、スムーズに二次圧密が進行している。次に図-2の②→③の過程で生じる $\sigma_1$ との差は剛板と供試体との摩擦によるものと考えられる。そこで $(\sigma_1 - \sigma_3)/\sigma_3$ の値を求める最大で5.4%となり、前回の報告の場合よりも大幅に摩擦が減少していることが分った。

図-5は一面Uせん断による強度異方性と圧密時間の関係で、長期圧密粘土でも強度異方性は減少していく。図-6は水平供試体の一面Uせん断の結果で、圧密時間によるせん断特性の変化は従来の報告と同様の傾向が認められる。

以上より図-6における一次元圧密粘土のせん断特性の変化は、図-3の結果からみる限り二次圧密中の水平応力の変化によることは説明できない。

謝辞: 本稿をまとめるにあたり御指導頂いた本学三室教授に謝意を表します。緒文獻: 1) 東田他: 新しい $K_0$ 圧密三軸圧縮試験: ついで, 36回土木学会年講 2) 井井他:  $K_0$ 圧密粘土の圧密せん断における..., 37回土木学会年講 3) 大河内他: 粘性土の長期 $K_0$ 圧密非排水せん断試験, 第17回土質工学研究所発表会 4) 中村裕造: 大阪市S58年度修士論文 5) 例えば土壤試験法P559-460

表-1 試料の物理性質

	$G_s$	$w_L(\%)$	$w_p(\%)$	$T_p(\%)$	含水比(%)	体積割合
N90	2.67	90.5	35.0	55.5	62.6	
N-K60	2.67	61.8	26.4	35.4	46.4	

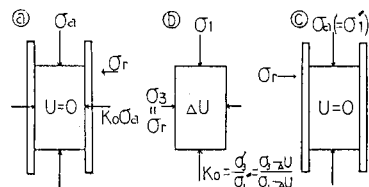


図-2  $K_0$ 値測定時の供試体の状態

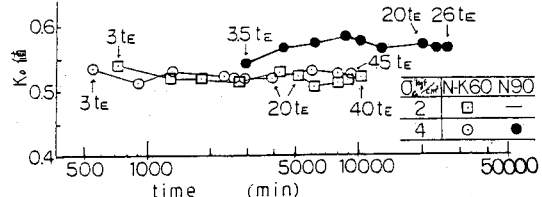


図-3 二次圧密過程の $K_0$ 値の変化

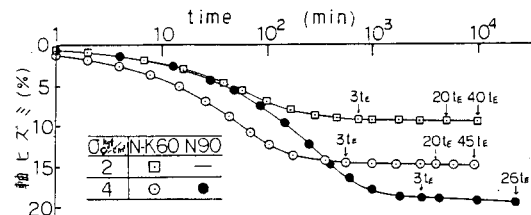


図-4 時間沈下カーブ

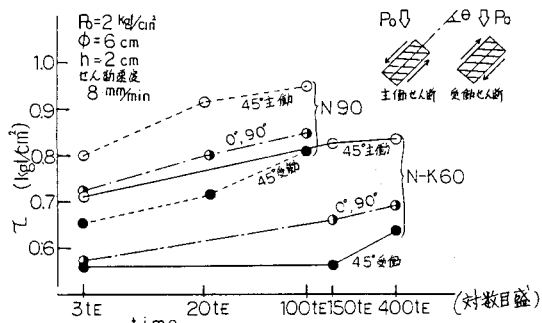


図-5 圧密時間と強度異方性

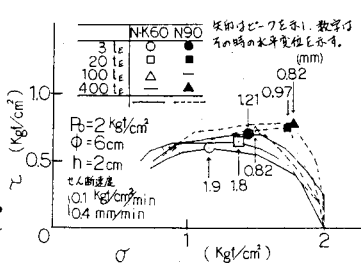


図-6 圧密時間によるせん断特性の変化